



ИНСТИТУТ ЯДЕРНОЙ ФИЗИКИ
им. Г.И. Будкера СО РАН

Е.А. Гилев, Г.И. Димов, А.А. Кабанцев,
В.Г. Соколов, С.Ю. Таскаев

ИОННО-ГОРЯЧАЯ ПЛАЗМА
В КВАДРУПОЛЬНОЙ ЛОВУШКЕ

ИЯФ 93-5



НОВОСИБИРСК

Ионно-горячая плазма в квадрупольной ловушке

Е. А. Гилев, Г. И. Димов, А. А. Кабанцев,
В. Г. Соколов, С. Ю. Таскаев

Институт ядерной физики им. Г. И. Будкера
630090, Новосибирск 90, Россия

А Н Н О Т А Ц И Я

При заполнении пробкотрона "АМБАЛ-Ю" плазмой из квазистационарного газоразрядного источника без использования дополнительных методов нагрева получена горячая плазма с плотностью $n \approx 3 \cdot 10^{13} \text{ см}^{-3}$, температурой ионов $T_i \sim 1 \text{ кэВ}$, температурой электронов $T_e \geq 50 \text{ эВ}$, параметром $\beta \approx 6\%$.

При работе на дейтерии выход термоядерных нейтронов составил в этом случае $\sim 10^8$ нейтронов/с.

При инжекции в полученную плазму атомарных пучков водорода ($E \approx 17 \text{ кэВ}$, $I \approx 100 \text{ экв.А}$, захват $\approx 5\%$) образуется популяция ультрагорячих ионов со средней энергией 5 кэВ в объеме 4 литра. Усредненная по всему объему плотность этой популяции растет в течение всей длительности инжекции (200 мкс) и превышает к концу уровень $3 \cdot 10^{12} \text{ см}^{-3}$.

Hot-Ion Plasma in the Quadrupole Trap

E.A.Gilev,G.I.Dimov,A.A.Kabantsev,
V.G.Sokolov,S.Yu.Taskaev

Budker Institute Of Nuclear Physics
630090, Novosibirsk 90, Russia

A B S T R A C T

Under filling up the "AMBAL-U" mirror by plasma from quasi-stationary gas-discharge source without using of an additional heating methods, the hot plasma with density n of $3 \cdot 10^{13} \text{ cm}^{-3}$, ion temperature $T_i \sim 1 \text{ keV}$, electron temperature $T_e \geq 50 \text{ eV}$, and the β -parameter of 6% was obtained.

In the case of working with deuterium the output of the thermonuclear neutrons was $\sim 10^8$ neutrons/s.

When the atomic H^0 beams ($E \approx 17 \text{ keV}$, equivalent current 100 A, capture $\approx 5\%$) inject into the obtained plasma the population of super ions with an average energy of 5 keV in volume of 4 liters is achieved. The density of this population on the whole volume increases during the injection pulse (200 μs) and becomes higher than $3 \cdot 10^{12} \text{ cm}^{-3}$ to the end of this period.

© Институт ядерной физики им. Г. И. Будкера, Россия

На рисунке 1 приведено продольное распределение магнитного поля и соответствующие ему распределения плотности и потенциала

1. В В Е Д Е Н И Е

Одной из важнейших задач исследований по физике УТС является получение стационарной ионно-горячей плазмы с температурой ионов в диапазоне десятков килоэлектронвольт. В открытых магнитных ловушках на начальном этапе предусматривается создание плазменной мишени со сравнительно умеренными параметрами, на которой впоследствии происходит захват высокозергетичных интенсивных атомарных пучков. При использовании в качестве такой мишени плазменных струй, из газоразрядных дуговых источников [1], получаемая плазменная мишень характеризуется обычно следующими параметрами: температура $T_i \approx T_e \sim 10 \text{ эВ}$, плотность $n \approx 10^{14} \text{ см}^{-3}$, потоковая скорость $V \sim V_t$ (V_t - тепловая скорость ионов).

Высокая электронная теплопроводность вдоль силовых линий магнитного поля не позволяет иметь значительного перепада в T_e между местом инжекции пучков и газоразрядным источником, а в самом разряде T_e слабо зависит от выделяемой мощности и поэтому практически фиксированна. Такая низкая электронная температура плазменной плазмы принципиально ограничивает энергетическое время жизни образующихся горячих ионов, не позволяя тем самым стационарно поддерживать достаточную их плотность.

Как было продемонстрировано в [2], ситуация с T_e радикально изменяется при наличии потенциального термобарьера для электронов, образующегося между собственно ловушкой и плазменным источником.

На рисунке 1 приведено продольное распределение магнитного поля и соответствующие ему распределения плотности и потенциала

плазменной струи, полученные в установке "Амбал-ЮМ" [2]. Видно, что в области входной пробки образуется потенциальный барьер для электронов, позволяющий существенно уменьшить электронный теплоперенос.

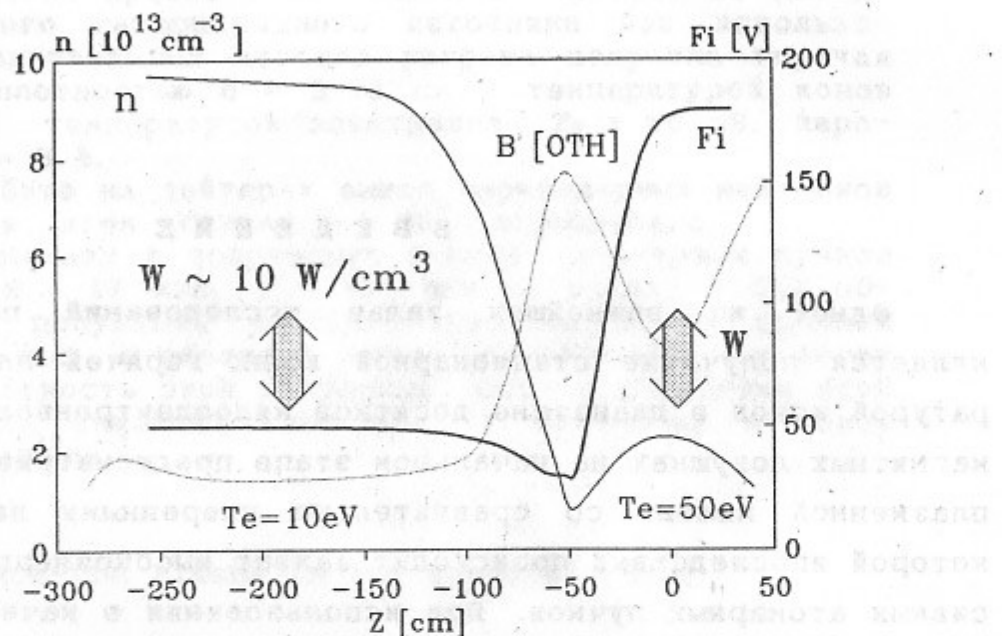


Рис. 1. Термобарьер, реализуемый на установке "Амбал-ЮМ"

Зависимости магнитного поля (пунктир), плотности и потенциала (жирная линия) плазмы вдоль оси установки.

Специфическим свойством описываемой плазменной струи является развитие в ней при транспортировке в магнитном поле неустойчивости Кельвина-Гельмгольца (НКГ) [3]. Природа этой неустойчивости связана с дифференциальным вращением плазмы в скрещенных магнитном и электрическом полях. Поперечное электрическое поле порождается выносимым в плазменную струю (вследствие замагниченности электронного компонента) анодным падением напряжения на разряде. Развитие НКГ сопровождается возбуждением в плазменной струе низкочастотных ($\omega \ll \omega_{ci}$) электростатических волн, распространяющихся поперек магнитного поля с фазовой скоростью $\omega/k \leq V_t$. В сочетании такого потенциального поля волнового пакета и внешнего магнитного поля возникает "броуновское" движение ионов в пространстве скоростей, приводящее к их стохастическому нагреву [4].

В аналогичных экспериментальных условиях описанных в [5],

плотность мощности, выделяемая электрическими полями НКГ в ионный компонент, составляла величину масштаба 10 Вт/см^3 . В отсутствии определенного выше потенциального барьера для электронов, этой мощности хватало для нагрева ионов до температуры $T_i \approx 50 \text{ эВ}$, которая ограничивалась теплообменом с холодными термостатированными электронами. Наличие же термобарьера приводит к уменьшению коэффициента электронной теплопроводности примерно в $\exp(e\phi/T_e) \sim 10$ раз (см. Рис. 1), что при том же потоке мощности должно сопровождаться ростом T_e в ловушке в $10^{2/3} \approx 5$ раз. Это и было продемонстрировано в экспериментах [2].

Поскольку равновесное значение температуры ионов определяется скоростью их обмена энергией с электронами, то с ростом T_e в 5 раз можно ожидать увеличения T_i на порядок ($T_i \propto T_e^{3/2}$).

Таким образом, развитие НКГ при наличии термобарьера позволяет получать из квазистационарных газоразрядных источников плазму с температурой ионов "кэвного" диапазона без применения дополнительных методов нагрева. Использование такой плазмы в качестве мишени для интенсивных атомарных пучков коренным образом облегчает переход к квазистационарному режиму, т. к. время жизни захваченной горячей популяции ионов не будет определяться торможением на холодных электронах, а лимитируется естественными для пробкотронов временами рассеяния в конус потерь и временем жизни по перезарядке на атомарных пучках и остаточном газе.

Изложение материала дается в следующей последовательности: раздел 2 содержит краткое описание экспериментальной установки и использованной в данных экспериментах диагностической аппаратуры; в разделе 3 представлены результаты экспериментов по получению горячей плазмы в пробкотроне с помощью газоразрядного источника плазмы; раздел 4 посвящен экспериментам по инъекции интенсивных атомарных пучков в горячую мишеннюю плазму; в разделе 5 делается сравнение полученных экспериментальных данных с оценками по изложенной выше модели, здесь же приведены результаты работы по дальнейшему повышению температуры ионов и регистрации нейтронного выхода при работе источника плазмы на дейтерии; в заключительном разделе формулируются полученные в настоящей работе результаты.

и типов магнитных полей, а также "стартом", состоящим из открытия фокуса векторного момента "Инь-Янь".

2. СХЕМА ЭКСПЕРИМЕНТАЛЬНОЙ УСТАНОВКИ

На рисунке 2 приведена принципиальная схема установки "Амбал - ЮМ" [2]. Установка состоит из плазменной ловушки, представляющей собой квадрупольный пробкотрон типа "Инь-Янь" с абсолютным "min-B" и пробочным отношением 2. Магнитное поле в пробке до 1.3 Т. Источник газоразрядной плазмы (3), [1] помещается на продольной оси ловушки за одной из магнитных пробок. Плазменная струя из источника транспортируется через соленоид (2) с однородным полем величиной ~ 0.25 Т. В центральную область пробкотрона, перпендикулярно оси осуществляется инъекция атомарных пучков [7]. На рисунке 2 также представлены некоторые средства диагностики, используемые в данной работе.

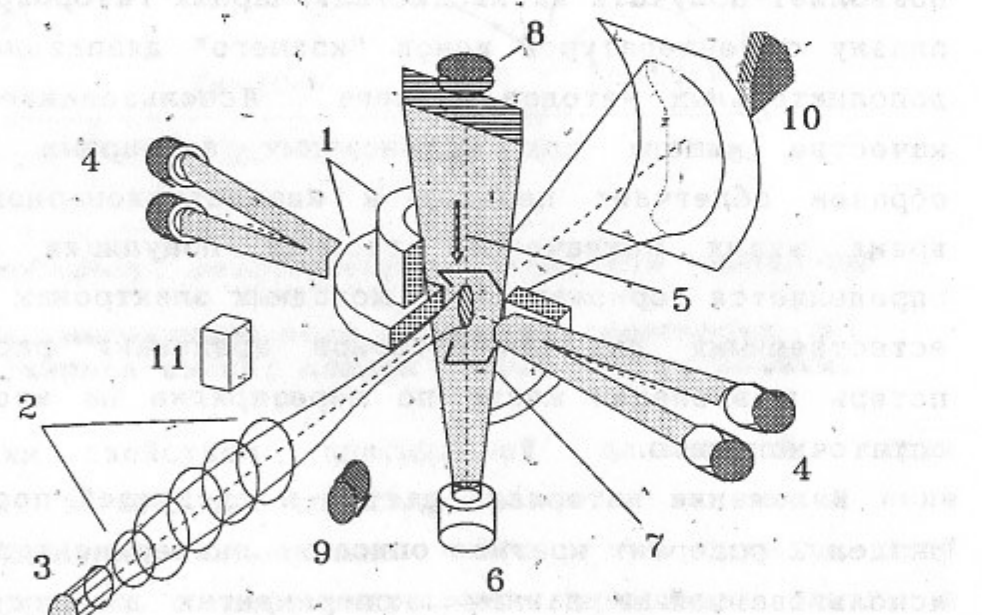


Рис.2. Схема установки « АМБАЛ - ЮМ »

1-катушки магнитного поля пробкотрона типа «ИНЬ-ЯНЬ», 2-транспортирующий соленоид, 3 - источник плазмы, 4 - атомарные инжекторы « СТАРТ-2 », 5 - ленгмюровский тройной зонд, 6 - система диагностики по ослаблению нейтрального пучка, 7 -диамагнитная петля, 8 - регистрация излучения $\text{H}\alpha$, 9 - болометр, 10 - энергоанализатор вылетающих ионов, 11 - детектор нейтронов.

Для определения размеров мишенной плазмы, контроля плотности и электронной температуры в центре пробкотрона использовался подвижный ленгмюровский тройной зонд (5). Для измерения

линейной плотности плазмы в медианной плоскости ловушки применялась система многохордового зондирования атомарным диагностическим пучком (6). По результатам этой методики были скорректированы показания зонда. Для измерения диамагнитного сигнала в центре пробкотрона имеется петля (7) специальной формы, позволяющая беспрепятственно вести инъекцию атомарных пучков и обладающая минимальной чувствительностью к токам, текущим вдоль плазменной струи [7]. Многоканальная система регистрации излучения плазмы на линии $\text{H}\alpha$ (8) применялась для контроля размеров плазмы и электронной температуры [8], [2]. Температура ионов плазмы измерялась по додлеровскому уширению излучения атомов перезарядки на линии $\text{H}\alpha$. Изображение плазменного шнура системой объективов передавалось на входную щель монохроматора МДР-2, на выходе прибора контур линии $\text{H}\alpha$ (656.3 нм) регистрировался с помощью оптического коллектора комплектом ФЭУ. Оптический коллектор был склеен из отдельных волокон аналогично [9] и обеспечивал разрешение 0.12 нм/канал, что позволяло иметь точность 10% при измерении температуры ионов водородной плазмы в диапазоне 0.5 - 1.0 кэВ. В торцевом приемнике плазмы располагался магнитный энергоанализатор вылетающих ионов (10). Электропитание магнита энергоанализатора обеспечивало измерение энергии протонов до 6 кэВ.

3. ПОЛУЧЕНИЕ ИОННО-ГОРЯЧЕЙ ПЛАЗМЫ ИЗ ГАЗОРАЗРЯДНОГО ИСТОЧНИКА

Временная зависимость линейной плотности плазмы в центре пробкотрона, измеренная по ослаблению диагностического пучка [2] приведена на рисунке 3. Характерное значение $\langle n \rangle \approx 3 \cdot 10^{14} \text{ см}^{-3}$. Размер струи по длине пучка, определенный с помощью зонда, составил 10 см на полувысоте. Поэтому в описываемых экспериментах плотность плазмы в центре $\langle n \rangle \approx 3 \cdot 10^{13} \text{ см}^{-3}$.

Ионная температура в ловушке определялась на основе анализа энергетического спектра ионов, вылетающих вдоль магнитных силовых линий в торцевой приемник, а также по додлеровскому уширению линии $\text{H}\alpha$ атомов перезарядки.

Энергетический спектр ионов снимался 90°-градусным магнитным анализатором [10]. Размеры входной аппертуры и коллекторов позволяли измерять энергию ионов с разрешением 20%.

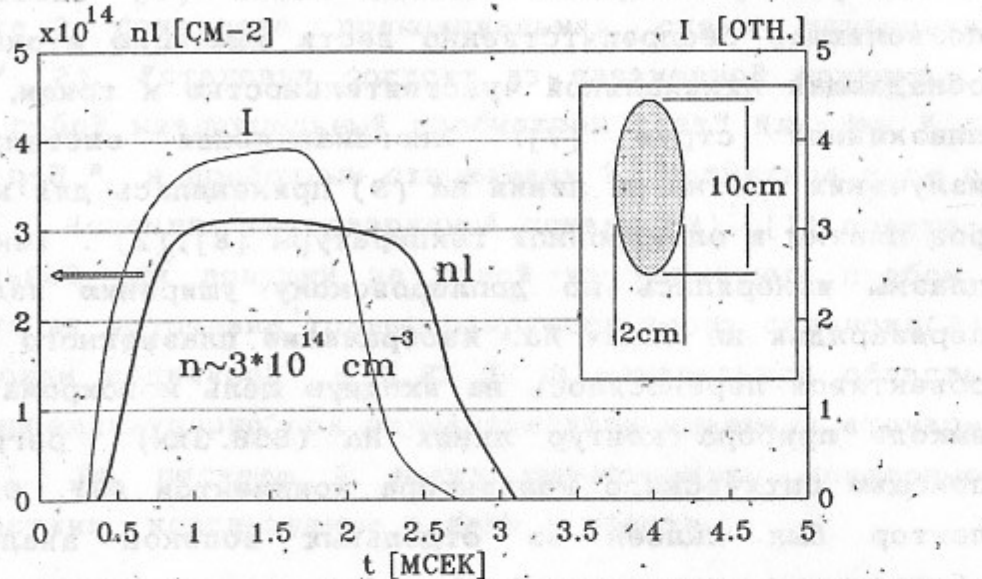


Рис.3. Плотность плазмы в центре ловушки.

Линейная плотность плазмы; ток дугового разряда источника; сечение плазмы в медианной плоскости (на уровне 1/2)

На рисунке 4 показана зависимость тока на коллектор от энергии ионов.

Измеряемый ток $I = \int v \cdot f(v) dv$, где $f(v)$ - функция распределения ионов по скоростям в области плазмоприемника (расширителя). При газодинамическом режиме истечения плазмы из ловушки средняя энергия ионов в расширителе связана с их температурой в пробкотроне соотношением $\bar{E} = 5/2 \cdot T_1$, ($T_e \ll T_i$). Для адиабатического же расширения $\bar{E} = 2 \cdot T_1$.

В описываемом эксперименте реализуется переходный режим течения. Поэтому, выбирая коэффициент 5/2, получаем оценку температуры ионов снизу: $T_i \geq 0.65$ кэВ (см. спектр, приведенный на Рис. 4).

Температура ионов измерялась также по доплеровскому уширению линии $\text{H}\alpha$ в спектре излучения атомов перезарядки. При максвелловском виде функции распределения излучающих атомов по скоростям указанная спектральная линия имеет гауссову форму с шириной

$$(2\Delta\lambda)^{1/2} [\text{нм}] = 0.05 \cdot \sqrt{T} [\text{эВ}]$$

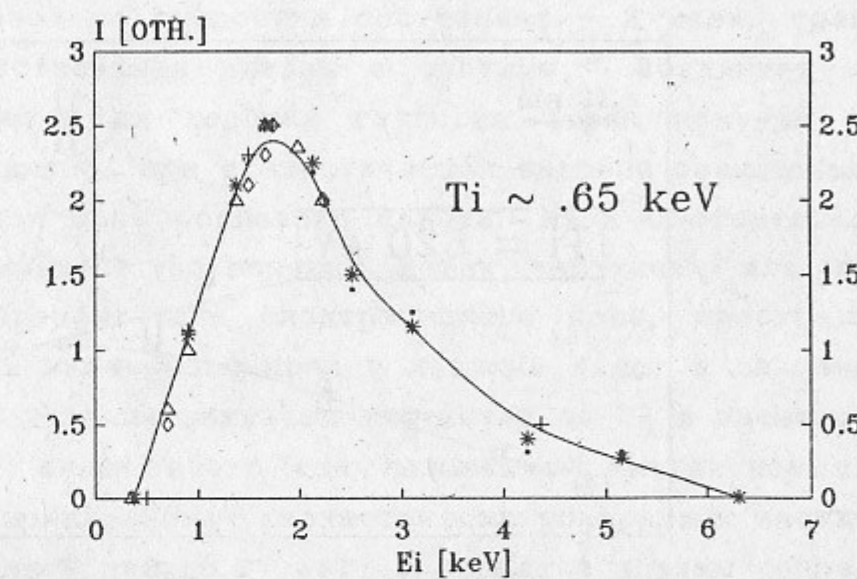


Рис.4. Энергетический спектр ионов в плазмоприемнике
(Разные значки относятся к разным сериям измерений)

Форма записи подчеркивает, что берется полная ширина линии на половине высоты контура. Помимо доплеровского существует ряд других механизмов уширения линии $\text{H}\alpha$ в плазме [11]. Для параметров "Аибал - ЮМ" [2] величина штарковского уширения не превышает 0.1 нм. Зеемановское расщепление в магнитном поле ловушки меньше 0.03 нм. Из приведенных оценок видно, что в нашем случае при температуре ионов $T_i > 10$ эВ доплеровское уширение линии $\text{H}\alpha$ оказывается преобладающим и измеренное уширение этой линии можно уверенно использовать для определения ионной температуры.

На рисунке 5 представлены результаты измерения уширения спектральной линии $\text{H}\alpha$ и аппаратная функция измерительного тракта (входная щель, МДР-2, оптический коллектор, ФЭУ) при засветке входной щели спектрометрической водородной лампой (ДВС-25). Относительная калибровка каналов проводилась модулированным механическим прерывателем излучением водородной лампы и гелий-неонового лазера. При калибровке засвечивался в основном один канал, в двух соседних каналах величина сигнала с учетом калибровки не превышала 10%, и учитывалась при обработке результатов.

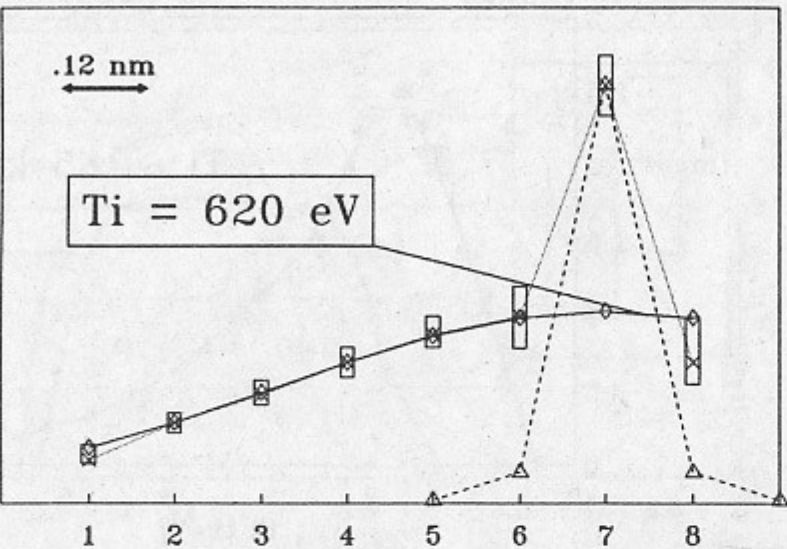


Рис.5. Доплеровские измерения ионной температуры.

Восстановленный контур линии $\text{H}\alpha$ (пунктир), 2 - аппаратная функция системы регистрации (штриховая линия), 3 - вписанный гауссов профиль (сплошная линия)

цифры 1 - 8 каналы системы регистрации, ширина одного канала $\Delta\lambda = 0.12 \text{ нм}$, 7-ой канал выставлен на линию $\text{H}\alpha$ (656, Знм)

Конструктивные особенности установки не позволили применить светосильную регистрирующую аппаратуру и сделать измерения ионной температуры по нескольким хордам. Чувствительность аппаратуры позволяла фиксировать лишь профиль линии $\text{H}\alpha$ в излучении, идущем из центральной области ловушки, поэтому получаемая после обработки спектrogramm величина T_i характеризует лишь некоторую среднюю температуру ионов в ловушке (с учетом, вообще говоря, близкого к однородному распределения в плазме плотности быстрых нейтралов перезарядки).

Экспериментально полученный контур линии имеет "горячее" крыло гауссового вида, обусловленное температурой плазмы, и "холодный" центральный пик, получаемый высвечиванием франк-кондонаовских атомов на периферии плазмы. Контур линии имеет симметричную относительно центра форму, что подтверждается измерениями с выставкой холодного пика на второй канал коллектора

(См. Рис. 5). Температура ионов водорода определялась по го-

рячему крылу путем сравнения с модельным гауссовым профилем.

Типичная получаемая величина температуры ионов $T_i \sim 0.65 \text{ кэВ}$.

При температуре ионов порядка килоэлектронвольта и плотности $n \sim 3 \cdot 10^{13} \text{ см}^{-3}$ время "максвеллизации" функции распределения ионов по скоростям составляет $\sim 2 \text{ мсек}$, сравниваемое с временем существования плазмы в ловушке. Возникает вопрос о том, не является ли хорошая гауссова форма контура линии $\text{H}\alpha$ артефактом. Однако, при стохастическом нагреве заряженных частиц в потенциальном поле волнового пакета, даже в отсутствие хаотизирующего влияния столкновений между частицами или пространственной некогерентности электрического поля, пространственная неоднородность магнитного поля в ловушке ведет к максвеллизации функции распределения захваченных частиц по V_\perp в процессе самого нагрева, т. е. имеет место так называемое "магнитное перемешивание" или "термализация" стохастически ускоренных частиц [12].

В полученной плазме $T_i \gg T_e$ и давление плазмы определяется в основном ионами. Для центра пробкотрона параметр $\beta \approx 6\%$.

Конструкция использованного в данных экспериментах источника плазмы позволяла изменить знак радиального электрического поля, выносимого в плазменную струю [6]. В этом случае развития НКГ не происходит, и, как следствие, отсутствует стохастический нагрев ионов [5]. Эксперименты, проведенные с таким режимом работы источника на установке "Амбал-ЮМ", также показали отсутствие нагрева ионов. При этом плотность плазмы в центре ловушки несколько уменьшилась (нет захвата в ловушку проточной плазмы путем накачки V_\perp на НКГ) до значений $n \sim 10^{13} \text{ см}^{-3}$, торцевой энергоанализатор ионов с нижним порогом 250 эВ не зафиксировал каких-либо быстрых частиц, доплеровский контур линии $\text{H}\alpha$ остался в границах аппаратной функции системы регистрации $T_i < 25 \text{ эВ}$.

4. НЕЙТРАЛЬНАЯ ИНЖЕКЦИЯ В ГОРЯЧУЮ МИШЕНЬЮ ПЛАЗМУ

В медианной плоскости ловушки сечение плазменной струи имеет вид эллипса с размерами по осям 2 см и 10 см (меньшая ось по направлению инжекции, см. Рис. 2, 3). Средняя плотность плазмы в струе $n \approx 3 \cdot 10^{13} \text{ см}^{-3}$. Следовательно, толщина мишени для пучков $\langle nl \rangle \approx 0.5 \cdot 10^{14} \text{ см}^{-2}$. Это соответствует захвату пучков на

уровне $\approx 5\%$, что подтверждается прямыми измерениями ослабления основных атомарных пучков. В экспериментах с такой "тонкой" мишенью уравнение баланса частиц при работе атомарных пучков имеет следующий вид :

$$\frac{dn_h}{dt} = \frac{(\bar{\sigma}_1 v + \bar{\sigma}_x v) \cdot n l_t \cdot f_t \cdot I}{v_b \cdot e \cdot V_h} + \frac{\bar{\sigma}_1 v \cdot n l_h \cdot f_h \cdot I}{v_b \cdot e \cdot V_h} - \frac{n_h}{\tau}$$

где n_h - плотность захваченных горячих ионов, $\bar{\sigma}_1$ и $\bar{\sigma}_x$ - сечения ионизации и перезарядки; v_b и v - скорость атомов пучка и относительная скорость пучок-частица, соответственно; f - фактор захвата пучка, усредненный по полному сечению плазмы; l_t - толщина мишениной плазмы; I - эквивалентный ток пучка; l_h - толщина захваченной горячей плазмы; V_h - полный объем захваченной горячей плазмы; τ - время жизни горячей плазмы с учетом всех механизмов потерь.

В приведенном уравнении первое слагаемое отражает захват пучка на мишениной плазме в результате ионизации и перезарядки, второе - ионизацию пучка на захваченных горячих ионах (перезарядка не меняет количества быстрых ионов), третье - потери.

В нашем случае $T_e \geq 50$ эВ [2], $T_i \approx 65$ кэВ, энергия инжектируемых атомов $E_a \approx 17$ кэВ. Доминирующим процессом при таких параметрах будет перезарядка пучка на мишениной плазме. Скорости соответствующих реакций [13]: $\bar{\sigma}_1 v \approx 1 \cdot 10^{-7} \text{ см}^3 \cdot \text{с}^{-1}$ - перезарядка пучка на мишени, $\bar{\sigma}_x v \approx 2.5 \cdot 10^{-8} \text{ см}^3 \cdot \text{с}^{-1}$ - ионизация электронами. Ион (атом) с энергией инжекции имеет скорость $v \approx 2 \cdot 10^8 \text{ см} \cdot \text{с}^{-1}$, что соответствует скорости электрона с энергией 10 эВ ($\bar{\sigma}_1 v \approx 6 \cdot 10^{-9} \text{ см}^3 \cdot \text{с}^{-1}$), поэтому ионизация атомарного пучка протонами плазмы еще менее эффективна, чем электронами. В описываемом эксперименте $n l_h \cdot f_h \ll n l_t \cdot f_t$, значит в уравнении баланса частиц вторым слагаемым можно пренебречь. Для режима работы, когда время жизни горячих ионов не лимитируется потерями по перезарядке на остаточном газе, а определяется торможением на электронах и последующим рассеянием в конус потерь, имеем зависимость $\tau \propto n_t^{-1}$. Как следствие, максимальная накопленная плотность горячих ионов не зависит от плотности мишениной плазмы (напомним, что $n_t \gg n_h$). Если в процессе накопления горячих частиц происходит подъем электронной температуры, то соответственно будет возрастать и время жизни горячих ионов ($\tau_{dr} \propto T_e^{3/2}$). Как

следствие, со временем будет увеличиваться плотность накопленной горячей плазмы. Этот рост плотности прекратится, когда процессы рассеяния или перезарядки станут доминирующими.

На рисунке 6 приведен сигнал с диамагнитной петли. Несмотря на специальную форму петли не удалось полностью избежать влияния электрических токов, текущих по плазменной струе [7], [14]. По этой причине физически информативной является только добавка в диамагнитный сигнал, образующаяся при инжекции пучков.

Из осциллограммы диамагнитного сигнала видно, что диамагнетизм растет в течение всего импульса инжекции (~ 200 мкс), хотя и с разными характерными временами. Такая сложная форма сигнала обусловлена следующим процессом. При инжекции атомарных пучков горячие ионы захватываются с питч-углами близкими к $\pi/2$, и поэтому в начальный момент популяция горячей плазмы сосредоточена в основном в центре пробкотрона, непосредственно под диамагнитной петлей. На приведенной осциллограмме этой стадии накопления соответствуют первые 50 мкsec от начала инжекции. В процессе накопления, в результате рассеяния, питч-угол изменяется и происходит заполнение всего пробкотрона горячими ионами, т.е. растет объем захваченной плазмы при

23-apr-92 DIAMAG #44

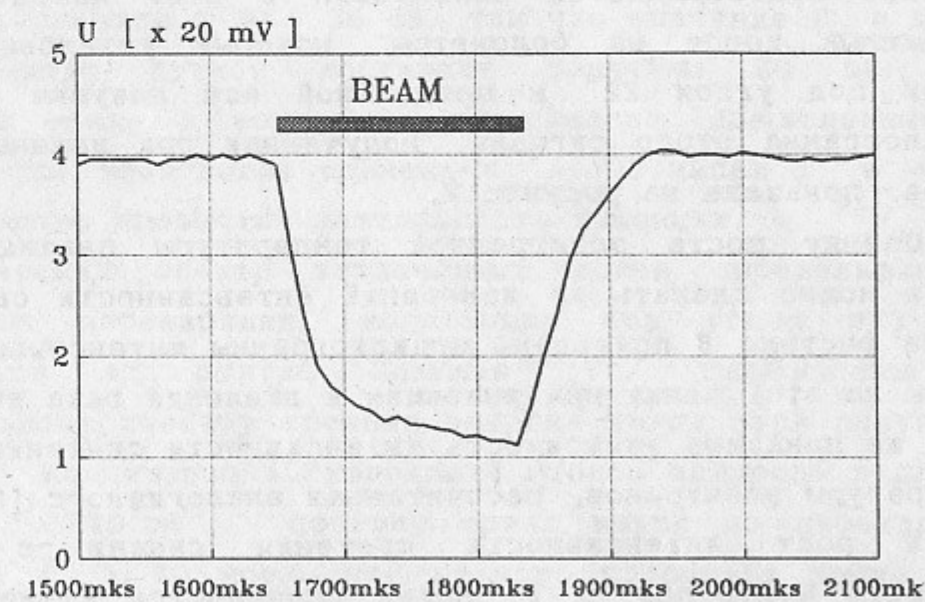


Рис.6. Диамагнитный сигнал при работе пучков.

неизменном токе захвата, с чем и связано уменьшение скорости роста диамагнитного сигнала.

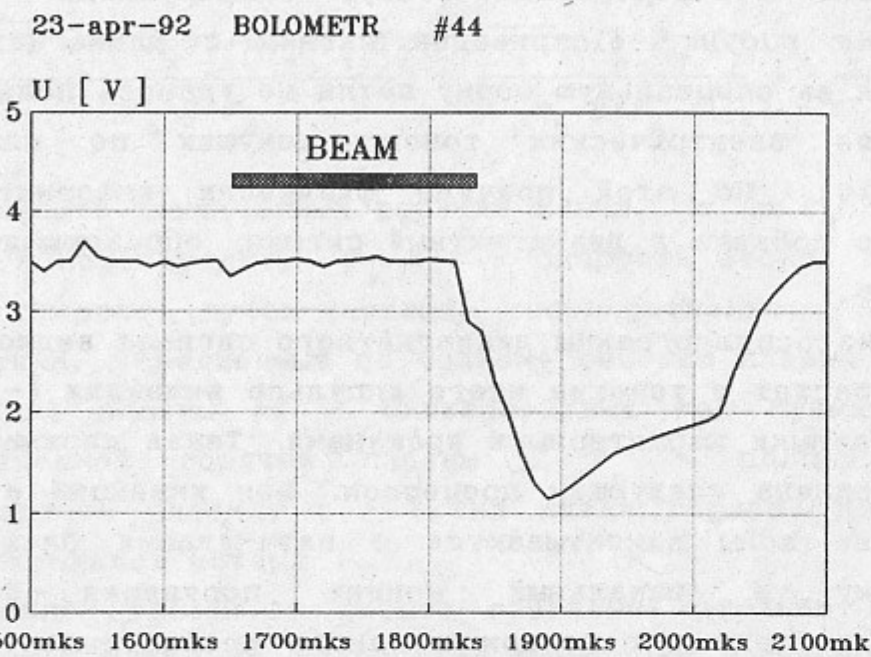


Рис.7. Сигнал с болометра при работе пучков.
(отрицательная полярность)

Рассеяние захваченных ионов в конус потерь (на угол $\pi/4$) с учетом торможения на электронах ($\tau_{dr} \approx 150$ мксек при $T_e \approx 50$ эВ, $Z_{ef} \approx 2$) будет происходить за время $\tau_d \approx 260$ мксек. Эта величина подтверждается появлением в этот момент сигнала от рассеянных ионов на болометре, который установлен в конусе потерь под углом 22° к продольной оси ловушки (см. Рис.2). Осциллограмма этого сигнала, полученная при инжекции атомарных пучков, показана на рисунке 7.

Оценку роста электронной температуры плазмы при работе пучков можно сделать из измерений интенсивности свечения линии $H\alpha$. На рисунке 8 приведены осциллограммы интенсивности свечения плазмы на этой линии при инжекции и давления газа вблизи плазмы. Здесь же показана зависимость интенсивности свечения линии $H\alpha$ от температуры электронов, рассчитанная аналогично с [2]. Начальный резкий рост интенсивности свечения связан с увеличением плотности нейтралов n_a в плазме (появляются атомарные пучки), что еще раз подтверждает наше заключение о несущественности перезарядки на "холодных" атомах. Затем наблюдается плавное

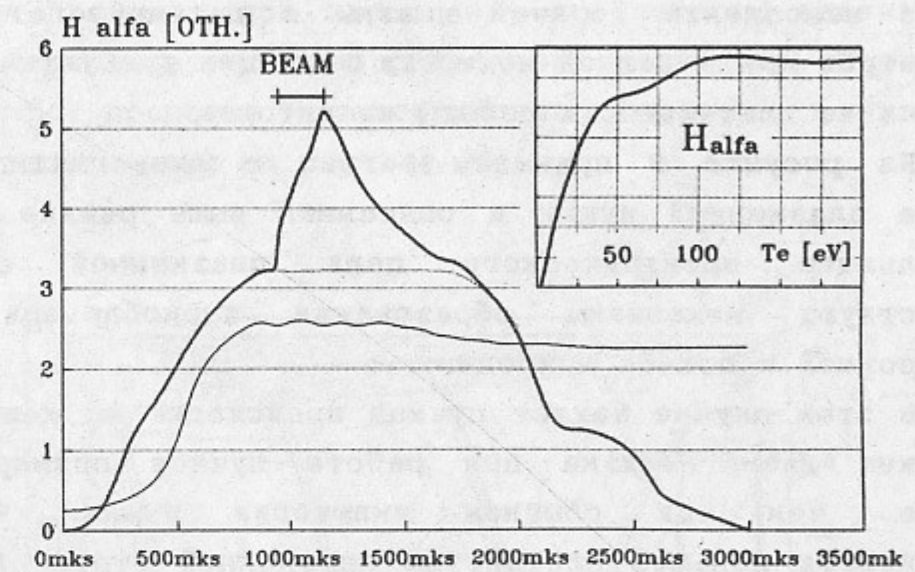


Рис.8. Интенсивность свечения плазмы на линии $H\alpha$.
Жирная линия - с атомарными пучками, пунктирная -
без пучков, тонкая - давление вблизи плазмы.
На вставке зависимость интенсивности свечения от
электронной температуры.

нарастание сигнала при неизменной плотности n_a , что естественно объяснить ростом электронной температуры при передаче энергии от захваченных ионов электронам. Эта величина прироста температуры электронов оценивается в 30 + 35 эВ, так что значение T_e к концу импульса инжекции пучков достигает величины 80 эВ, что подтверждается также и зондовыми измерениями. Вычисленные по такой температуре электронов времена $\tau_{dr} \approx 300$ мксек и $\tau_d \approx 410$ мксек уже заметно превышают длительность инжекции.

Энергетический спектр захваченных ионов определялся из спектра атомов перезарядки, вылетающих под углом $\pi/2$ к продольной оси из центра ловушки [7]. Вычислена по экспериментальному спектру средняя энергия ионов этой популяции $\langle E_1 \rangle \approx 5$ кэВ. Концентрация "холодных" атомов водорода в плазме составляет $n_a \sim 10^9 \text{ см}^{-3}$, поэтому время жизни по перезарядке горячих ионов $\tau_{ex} \sim 10$ мсек, что намного превышает время рассеяния в конус потерь.

Таким образом, перезарядные потери на "холодном" газе незначительны и время жизни горячих ионов определяется

рассеянием в конус потерь, причем в процессе накопления время рассеяния возрастает в результате роста электронной температуры. В итоге, для демонстрации действительно квазистационарного режима накопления горячей плазмы и дальнейшего улучшения ее параметров при заданной мощности инжекции требуется существенное увеличение длительности работы инжекторов.

На рисунке 9 приведен сигнал с диамагнитной петли при работе плазменной пушки в описанном выше режиме с обращением радиального электрического поля плазменной струи, когда отсутствуют механизмы образования термобарьера и нагрева электронной и ионной компонент.

В этом случае захват пучков происходит на холодной плазме. Величина диамагнетизма при работе пучков примерно в 6 раз меньше, чем при обычном включении пушки. Частично это объясняется меньшей плотностью плазменной струи. Резкие фронты нарастания и спада диамагнитного сигнала обусловлены малым временем жизни захваченных горячих ионов. Быстрое насыщение диамагнитного сигнала свидетельствует об отсутствии заметного увеличения T_e при инжекции атомарных пучков, что характерно для режима течения плазменной струи без термобарьера.

24-apr-92 DIAMAG (gun INVERT) #7

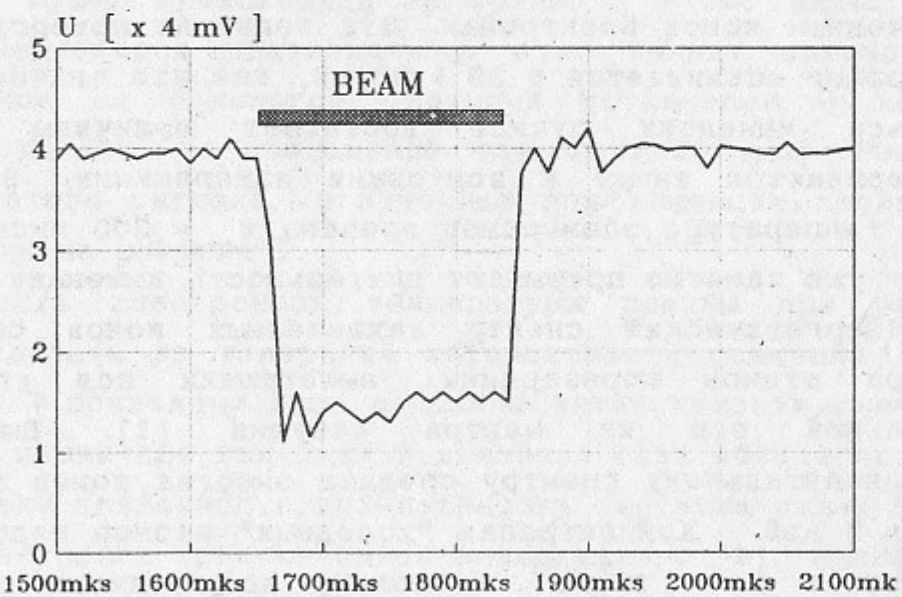


Рис.9. Диамагнитный сигнал при захвате пучков на плазменной струе с обращенным электрическим полем

5. ОБСУЖДЕНИЕ РЕЗУЛЬТАТОВ. ЭКСПЕРИМЕНТЫ С ДЕЙТЕРИЕМ.

В описываемой работе экспериментально продемонстрировано получение горячей плазмы при заполнении пробкотрона плазменной струей из квазистационарного газоразрядного источника. Происходящие при этом процессы трансформации энергии в плазме схематически представлены на рисунке 10.

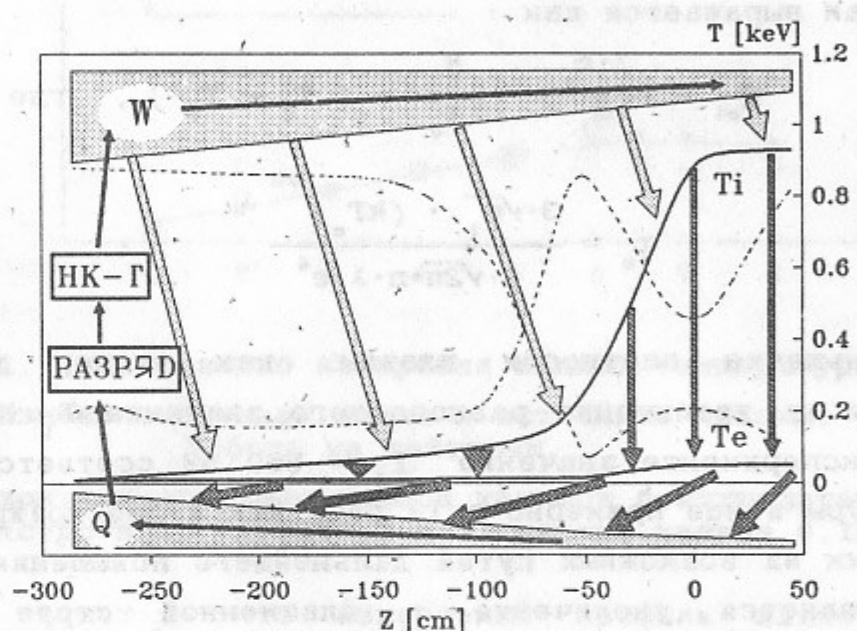


Рис.10. Диаграмма энергобаланса

На графиках сплошными линиями показаны температуры ионов и электронов [кэВ], пунктирными - магнитное поле и плотность [отн. ед.]

Дрейф в скрещенных $E \times B$ полях преобразует малую часть энергии ($\sim 10\%$), выделяющейся в дуговом разряде, в энергию дифференциального вращения плазменного столба. Это вращение при определенных условиях оказывается неустойчивым. В результате развития НКГ происходит генерация электростатических волн и энергия вращения плазмы переходит в энергию волновых пакетов. Такие электростатические волны эффективно поглощаются ионным компонентом - реализуется режим стохастического нагрева ионов. Ионы на столкновениях передают свою энергию более холодным электронам, от которых она по каналу электронной теплопроводности частично возвращается в дуговой разряд, а частично выносится на плазмоприемник.

Полученные в пробкотроне параметры плазмы хорошо согласуются с оценками, проведенными на основании представленного выше механизма и опирающимися на эксперименты по формированию термобарьера для электронов [2] и результаты исследований процесса нагрева ионов на установке МАЛ [5]. Как было отмечено во введении, увеличение температуры электронов в 5 раз (с 10 до 50 эВ) при условии сохранения прежней скорости обмена энергией между низкочастотными волнами, ионами и электронами должно сопровождаться ростом равновесного значения температуры ионов как минимум в 10 раз. Поток энергии, передаваемый от иона к электронам выражается как :

$$Q_{el} = \frac{3 \cdot m_e}{m_i} \cdot \frac{k}{\tau_e} \cdot (T_i - T_e), \text{ где}$$

$$\tau_e = \frac{3 \cdot \sqrt{m_i} \cdot (kT_e)^{3/2}}{4 \cdot \sqrt{2\pi} \cdot n \cdot \lambda \cdot e^4}$$

Уменьшение плотности плазмы, как видно, также должно сказаться на увеличении равновесного значения T_i . Полученное в данном эксперименте значение $T_i \approx 650$ эВ соответствует росту температуры ионов примерно в 13 раз, как и прогнозировалось.

Одним из возможных путей дальнейшего повышения температуры ионов является увеличение в плазменной струе радиального электрического поля, порождающего НКГ и определяемого в основном геометрическим анодным падением в дуговом разряде ($\Delta\phi_a \approx 120$ В). Этот подход представляется наиболее эффективным, поскольку мощность, идущая через НКГ на нагрев ионов, квадратично растет с ростом $\Delta\phi_a$. Поэтому увеличение анодного падения в 2-3 раза способно привести к многократному повышению равновесного значения T_i в плазменной струе. Уже первая попытка увеличить анодное падение за счет геометрического фактора, связанного с сильным сжатием токового канала вблизи анода, привела к желаемым следствиям. В результате некоторого уменьшения площади кольцевого анода [11] полное падение напряжение на разряде возросло на 27% и достигло величины 190 В. При этом температура ионов плазмы в пробкотроне возросла в полтора раза и составила 930 эВ, что еще раз подтверждает обоснованность принятой нами модели. Измеренный профиль линии $\text{H}\alpha$ для этого случая при работе источника плазмы на дейтерии приведен на рис. 11.

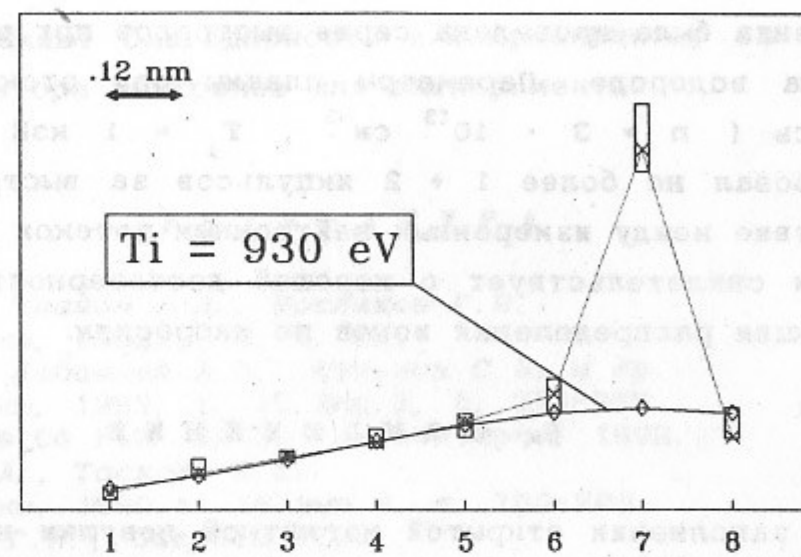
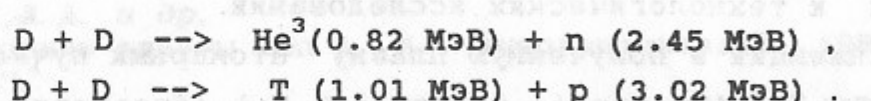


Рис.11. Доплеровские измерения ионной температуры.

Изменена площадь анода в источнике плазмы. Работа на дейтерии.

По горизонтали отложены номера каналов полихроматора
7 канал настроен на $\text{H}\alpha$ (656,3 нм); ширина канала 0,12 нм

Еще раз отметим, что измеряемый профиль линии хорошо совпадает с гауссовым. Это говорит о том, что функция распределения ионов по поперечным скоростям имеет максвелловский вид. В случае работы на дейтерии в плазме идут известные ядерные реакции синтеза:



При температуре дейтонов $T \approx 1$ кэВ скорости указанных реакций $\langle\sigma v\rangle = 1.5 \cdot 10^{-22} \text{ см}^3 \cdot \text{s}^{-1}$ [15]. Полное количество нейтронов, получаемое за один рабочий импульс установки ($t \approx 2$ мкс) в объеме пробкотрона оценивается как :

$$N \sim (n^2/2) \cdot \langle\sigma v\rangle \cdot V \cdot t \sim 10^5 \text{ шт.}$$

Для измерений этого нейтронного потока на установке "Амбал-ЮМ" вне вакуумной камеры был установлен детектор нейтронов (см. Рис. 2), регистрирующий "высвечивание" протонов

отдачи в полистироле. С учетом положения и эффективности детектора, за один выстрел установки он должен был регистрировать 30 ± 40 нейтронов, что полностью подтвердилось в эксперименте. Соответствующая статистика была набрана за 400 выстрелов работы на дейтерии. В качестве контрольного эксперимента была проведена серия выстрелов при работе источника плазмы на водороде. Параметры плазмы при этом фактически не изменились ($n \approx 3 \cdot 10^{13} \text{ см}^{-3}$, $T_i \approx 1 \text{ кэВ}$), а детектор регистрировал не более 1 ± 2 импульсов за выстрел. Полученное соответствие между измеренным нейтронным потоком и его расчетным значением свидетельствует о хорошей достоверности измерений n , T_i и функции распределения ионов по скоростям.

6. ЗАКЛЮЧЕНИЕ

При заполнении открытой магнитной ловушки низкотемпературной плазмой из квазистационарного газоразрядного источника, расположенного на продольной оси ловушки за одной из магнитных пробок, без использования дополнительных методов нагрева была получена горячая плазма с плотностью $n \approx 3 \cdot 10^{13} \text{ см}^{-3}$, температурой ионов $T_i \approx 1 \text{ кэВ}$, электронов $T_e \approx 50 \text{ эВ}$ и параметром $\beta \approx 6\%$.

При работе источника плазмы на дейтерии выход термоядерных нейтронов составил $\sim 10^8$ нейтронов/с.

Эта демонстрация возможности получения в геометрии открытых ловушек горячей и плотной плазмы с помощью низкотемпературных газоразрядных источников открывает принципиально новые подходы к проблеме получения стационарной горячей плазмы для различных физических и технологических исследований.

При инжекции в полученную плазму атомарных пучков водорода ($E \approx 17 \text{ кэВ}$, $I \approx 100 \text{ экв. А}$, захват $\approx 5\%$) образуется популяция ультрагорячих ионов со средней энергией 5 кэВ в объеме 4 литра. Плотность этой популяции растет в течение всей длительности инжекции (200 мкс) и усредненная по объему превышает к концу уровень $3 \cdot 10^{12} \text{ см}^{-3}$. При этом перезарядные потери на "холодном" газе оказываются незначительными, а время жизни ультрагорячих ионов определяется временем их рассеяния в конус потерь. Последнее же превосходит длительность инжекции и еще более увеличивается в процессе накопления из-за дальнейшего роста температуры электронов. Для демонстрации действительно квазистационарного

режима накопления, поддержания горячей плазмы и дальнейшего улучшения ее параметров при заданной мощности инжекции требуется существенное увеличение длительности работы инжекторов.

Авторы выражают благодарность А. В. Аржаникову за помощь в подготовке детектора нейтронов для эксперимента.

ЛИТЕРАТУРА

1. Димов Г.И., Иванов А.А., Росляков Г.В. физика плазмы, 1982, т. 8, с. 58.
2. Димов Г.И., Кабанцев А.А., Куэймин С.В. и др. физика плазмы, 1993, т. 19, вып. 3, с. 350-358. Препринт ИЯФ СО РАН 92-30. Новосибирск, 1992.
3. Кабанцев А.А., Таскаев С.Ю. физика плазмы, 1990, т. 16, вып. 6, с. 700-709.
4. Заславский Г.М., Сагдеев Р.З. Введение в нелинейную физику. - М.:Наука, 1988, гл. 13.
5. Кабанцев А.А., Таскаев С.Ю. физика плазмы, 1992, т. 18, вып. 5, с. 635-643.
6. Кабанцев А.А. Труды всесоюзного совещания по открытым ловушкам Москва, 19-21 октября 1989 г., с. 32-39.
7. E.D.Bender, V.E.Chupriyanov, G.I.Dimov, A.A.Kabantsev, E.V.Shun'ko, V.G.Sokolov, S.Yu.Taskaev . - In: International School of Plasma Physics.- Physics of Alternative Magnetic Confinement Schemes.- Proceedings of the Workshop held at Varenna, Italy, 15-24 October 1990, p. 157-170 .
8. Белкин В.С., Соколов В.Г., Тимошин И.Я. - Тезисы докладов V всесоюзного совещания по диагностике высокотемпературной плазмы . - Минск, 1990, с. 88-89 .
9. Зиновьев А.Н., Кржижановский Е.Р., Иванов А.А., Клесов В.В. Препринт ИЯФ СО РАН 90-20. Новосибирск, 1990.
10. Иванов А.А. и др. Диагностика плазмы Вып. 5, М : Энергоатомиздат, 1986, с. 147.
11. Гримм Г. Уширение спектральных линий в плазме. -М.:Мир, 1978.
12. S.Puri. Phys.Fluids, 1968, v.11, N 8, p.1745-1753. Statistical Particle Acceleration in Random Fields.
13. Лесняков Г.Г. ВАНТ Серия ТС, 1980, вып. 1 (5), с. 118-122.
14. Кабанцев А.А., Карлингер В.М., Соколов В.Г. и др. Препринт ИЯФ СО РАН 89-46. Новосибирск, 1989.
15. NRL plasma formulary. Naval Research Laboratory, Washington, DC 20375.

этот раз сформулированы некоторые аспекты связанные с изучением квадрупольной ловушки и ее применением для измерения неизвестных параметров в квадрупольной ловушке. Для этого в работе предложены различные методы измерения, включая измерение времени полувывески, измерение коэффициента усиления и измерение коэффициента отражения. В работе показано, что измерение времени полувывески является наиболее точным методом измерения параметров квадрупольной ловушки.

**Е.А. Гилев, Г.И. Димов, А.А. Кабанцев,
В.Г. Соколов, С.Ю. Таскаев**

Ионно-горячая плазма в квадрупольной ловушке

В работе исследованы различные методы измерения параметров квадрупольной ловушки. Показано, что измерение времени полувывески является наиболее точным методом измерения параметров квадрупольной ловушки. В работе показано, что измерение времени полувывески является наиболее точным методом измерения параметров квадрупольной ловушки.

ИЯФ 93-5

Ответственный за выпуск С.Г. Попов

Работа поступила 22 января 1993 г.

Подписано в печать 22.01. 1993 г.

Формат бумаги 60×90 1/16 Объем 1,7 печ.л., 1,4 уч.-изд.л.

Тираж 250 экз. Бесплатно. Заказ N 5

Обработано на IBM PC и отпечатано
на ротапринте ИЯФ им. Г.И. Будкера СО РАН,
Новосибирск, 630090, пр. академика Лаврентьева, 11.